

Starkniederschlagshöhen und -spenden gemäß KOSTRA-DWD-2020

Rasterfeld 97191

(Zeile 97, Spalte 191)

Regenspende und Bemessungsniederschlagswerte in Abhängigkeit von Wiederkehrzeit T und Dauerstufe D

| Dauerstufe D | | Wiederkehrzeit T | | | | | | | | | | | | | | | | | |
|--------------|-----|------------------|------------|------|------------|------|------------|------|------------|------|------------|-------|------------|-------|------------|-------|------------|-------|------------|
| | | 1 a | | 2 a | | 3 a | | 5 a | | 10 a | | 20 a | | 30 a | | 50 a | | 100 a | |
| min | Std | mm | l / (s ha) | mm | l / (s ha) | mm | l / (s ha) | mm | l / (s ha) | mm | l / (s ha) | mm | l / (s ha) | mm | l / (s ha) | mm | l / (s ha) | mm | l / (s ha) |
| 5 | | 7,0 | 233,3 | 9,0 | 300,0 | 10,2 | 340,0 | 11,8 | 393,3 | 14,0 | 466,7 | 16,4 | 546,7 | 17,9 | 596,7 | 19,9 | 663,3 | 22,8 | 760,0 |
| 10 | | 9,0 | 150,0 | 11,4 | 190,0 | 12,9 | 215,0 | 14,9 | 248,3 | 17,8 | 296,7 | 20,8 | 346,7 | 22,7 | 378,3 | 25,3 | 421,7 | 28,9 | 481,7 |
| 15 | | 10,1 | 112,2 | 12,9 | 143,3 | 14,6 | 162,2 | 16,9 | 187,8 | 20,1 | 223,3 | 23,5 | 261,1 | 25,7 | 285,6 | 28,6 | 317,8 | 32,7 | 363,3 |
| 20 | | 11,0 | 91,7 | 14,0 | 116,7 | 15,8 | 131,7 | 18,3 | 152,5 | 21,8 | 181,7 | 25,5 | 212,5 | 27,9 | 232,5 | 31,0 | 258,3 | 35,5 | 295,8 |
| 30 | | 12,2 | 67,8 | 15,6 | 86,7 | 17,7 | 98,3 | 20,4 | 113,3 | 24,3 | 135,0 | 28,4 | 157,8 | 31,1 | 172,8 | 34,5 | 191,7 | 39,5 | 219,4 |
| 45 | | 13,6 | 50,4 | 17,3 | 64,1 | 19,6 | 72,6 | 22,6 | 83,7 | 27,0 | 100,0 | 31,5 | 116,7 | 34,4 | 127,4 | 38,3 | 141,9 | 43,8 | 162,2 |
| 60 | 1 | 14,6 | 40,6 | 18,6 | 51,7 | 21,0 | 58,3 | 24,3 | 67,5 | 29,0 | 80,6 | 33,8 | 93,9 | 37,0 | 102,8 | 41,2 | 114,4 | 47,1 | 130,8 |
| 90 | 1,5 | 16,1 | 29,8 | 20,5 | 38,0 | 23,2 | 43,0 | 26,8 | 49,6 | 32,0 | 59,3 | 37,3 | 69,1 | 40,8 | 75,6 | 45,4 | 84,1 | 52,0 | 96,3 |
| 120 | 2 | 17,2 | 23,9 | 22,0 | 30,6 | 24,9 | 34,6 | 28,7 | 39,9 | 34,3 | 47,6 | 40,0 | 55,6 | 43,8 | 60,8 | 48,7 | 67,6 | 55,7 | 77,4 |
| 180 | 3 | 19,0 | 17,6 | 24,2 | 22,4 | 27,4 | 25,4 | 31,6 | 29,3 | 37,7 | 34,9 | 44,0 | 40,7 | 48,2 | 44,6 | 53,6 | 49,6 | 61,3 | 56,8 |
| 240 | 4 | 20,3 | 14,1 | 25,9 | 18,0 | 29,3 | 20,3 | 33,9 | 23,5 | 40,4 | 28,1 | 47,1 | 32,7 | 51,5 | 35,8 | 57,3 | 39,8 | 65,6 | 45,6 |
| 360 | 6 | 22,3 | 10,3 | 28,4 | 13,1 | 32,2 | 14,9 | 37,2 | 17,2 | 44,4 | 20,6 | 51,8 | 24,0 | 56,7 | 26,3 | 63,0 | 29,2 | 72,1 | 33,4 |
| 540 | 9 | 24,5 | 7,6 | 31,3 | 9,7 | 35,4 | 10,9 | 40,9 | 12,6 | 48,8 | 15,1 | 56,9 | 17,6 | 62,3 | 19,2 | 69,3 | 21,4 | 79,3 | 24,5 |
| 720 | 12 | 26,2 | 6,1 | 33,4 | 7,7 | 37,9 | 8,8 | 43,7 | 10,1 | 52,2 | 12,1 | 60,9 | 14,1 | 66,6 | 15,4 | 74,0 | 17,1 | 84,7 | 19,6 |
| 1080 | 18 | 28,8 | 4,4 | 36,7 | 5,7 | 41,6 | 6,4 | 48,0 | 7,4 | 57,3 | 8,8 | 66,9 | 10,3 | 73,1 | 11,3 | 81,3 | 12,5 | 93,1 | 14,4 |
| 1440 | 24 | 30,8 | 3,6 | 39,2 | 4,5 | 44,5 | 5,2 | 51,3 | 5,9 | 61,3 | 7,1 | 71,5 | 8,3 | 78,2 | 9,1 | 86,9 | 10,1 | 99,5 | 11,5 |
| 2880 | 48 | 36,1 | 2,1 | 46,0 | 2,7 | 52,2 | 3,0 | 60,3 | 3,5 | 71,9 | 4,2 | 83,9 | 4,9 | 91,8 | 5,3 | 102,0 | 5,9 | 116,8 | 6,8 |
| 4320 | 72 | 39,7 | 1,5 | 50,6 | 2,0 | 57,3 | 2,2 | 66,2 | 2,6 | 79,0 | 3,0 | 92,1 | 3,6 | 100,8 | 3,9 | 112,1 | 4,3 | 128,3 | 4,9 |
| 5760 | 96 | 42,4 | 1,2 | 54,0 | 1,6 | 61,2 | 1,8 | 70,7 | 2,0 | 84,4 | 2,4 | 98,5 | 2,9 | 107,7 | 3,1 | 119,8 | 3,5 | 137,1 | 4,0 |
| 7200 | 120 | 44,6 | 1,0 | 56,9 | 1,3 | 64,5 | 1,5 | 74,5 | 1,7 | 88,8 | 2,1 | 103,7 | 2,4 | 113,4 | 2,6 | 126,1 | 2,9 | 144,3 | 3,3 |
| 8640 | 144 | 46,5 | 0,9 | 59,3 | 1,1 | 67,3 | 1,3 | 77,7 | 1,5 | 92,7 | 1,8 | 108,1 | 2,1 | 118,2 | 2,3 | 131,5 | 2,5 | 150,5 | 2,9 |
| 10080 | 168 | 48,2 | 0,8 | 61,5 | 1,0 | 69,7 | 1,2 | 80,5 | 1,3 | 96,0 | 1,6 | 112,0 | 1,9 | 122,5 | 2,0 | 136,3 | 2,3 | 156,0 | 2,6 |

Starkniederschlagshöhen und -spenden gemäß KOSTRA-DWD-2020

Rasterfeld 97191

(Zeile 97, Spalte 191)

Örtliche Unsicherheiten in Abhängigkeit von Wiederkehrzeit T und Dauerstufe D

| Dauerstufe D | | Wiederkehrzeit T | | | | | | | | |
|--------------|-----|------------------|-----|-----|-----|------|------|------|------|-------|
| | | 1 a | 2 a | 3 a | 5 a | 10 a | 20 a | 30 a | 50 a | 100 a |
| min | Std | ± % | ± % | ± % | ± % | ± % | ± % | ± % | ± % | ± % |
| 5 | | 10 | 10 | 11 | 11 | 12 | 13 | 13 | 14 | 14 |
| 10 | | 11 | 14 | 15 | 16 | 17 | 18 | 18 | 19 | 19 |
| 15 | | 13 | 16 | 17 | 18 | 19 | 20 | 21 | 22 | 22 |
| 20 | | 15 | 17 | 18 | 20 | 21 | 22 | 23 | 23 | 24 |
| 30 | | 16 | 19 | 20 | 21 | 22 | 23 | 24 | 24 | 25 |
| 45 | | 16 | 19 | 20 | 22 | 23 | 24 | 25 | 25 | 26 |
| 60 | 1 | 16 | 19 | 21 | 22 | 23 | 24 | 25 | 25 | 26 |
| 90 | 1,5 | 16 | 19 | 20 | 22 | 23 | 24 | 25 | 25 | 26 |
| 120 | 2 | 16 | 18 | 20 | 21 | 22 | 24 | 24 | 25 | 25 |
| 180 | 3 | 15 | 18 | 19 | 20 | 22 | 23 | 23 | 24 | 24 |
| 240 | 4 | 14 | 17 | 18 | 20 | 21 | 22 | 22 | 23 | 24 |
| 360 | 6 | 13 | 16 | 17 | 18 | 20 | 21 | 21 | 22 | 23 |
| 540 | 9 | 13 | 15 | 16 | 17 | 19 | 20 | 20 | 21 | 21 |
| 720 | 12 | 12 | 14 | 15 | 17 | 18 | 19 | 19 | 20 | 21 |
| 1080 | 18 | 12 | 14 | 15 | 16 | 17 | 18 | 18 | 19 | 20 |
| 1440 | 24 | 11 | 13 | 14 | 15 | 16 | 17 | 18 | 18 | 19 |
| 2880 | 48 | 11 | 12 | 13 | 14 | 15 | 16 | 17 | 17 | 18 |
| 4320 | 72 | 12 | 12 | 13 | 14 | 15 | 15 | 16 | 16 | 17 |
| 5760 | 96 | 12 | 13 | 13 | 14 | 14 | 15 | 16 | 16 | 16 |
| 7200 | 120 | 13 | 13 | 13 | 14 | 14 | 15 | 15 | 16 | 16 |
| 8640 | 144 | 13 | 13 | 13 | 14 | 14 | 15 | 15 | 16 | 16 |
| 10080 | 168 | 13 | 13 | 13 | 14 | 14 | 15 | 15 | 16 | 16 |

Parameter für abweichende T und D

Lokationsparameter ξ (Xi)

14,80504052

Skalenparameter α (Alpha)

5,65563681

Formparameter κ (Kappa)

-0,1

1. Koutsoyiannis-Parameter θ (Theta)

0,02048231

2. Koutsoyiannis-Parameter η (Eta)

0,76934435

Parameter für dauerstufenübergreifende Extremwertschätzung nach KOUTSOYIANNIS et al. 1998.

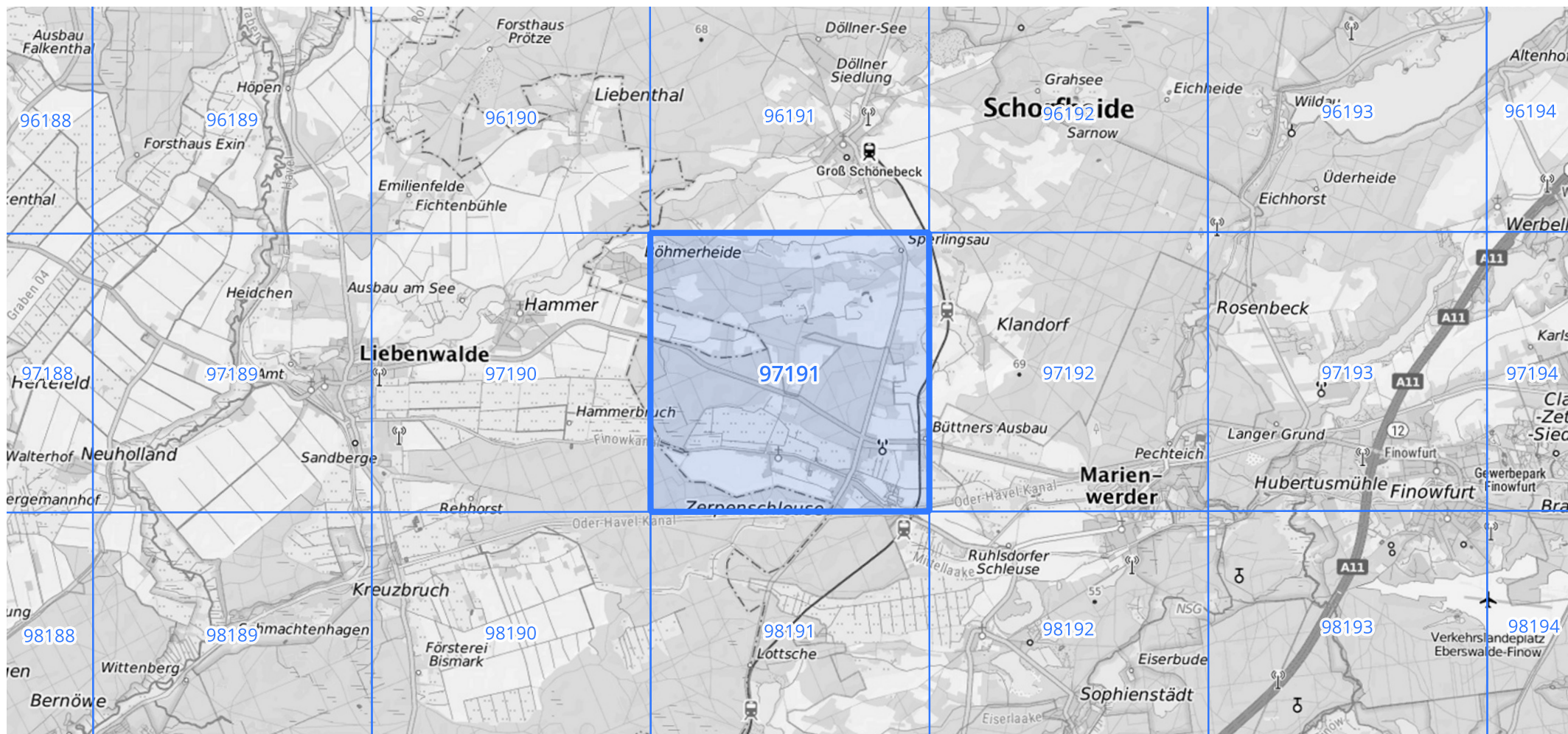
Siehe auch Anwendungshilfe zu KOSTRA-DWD-2020 des Deutschen Wetterdienstes.

Starkniederschlagshöhen und -spenden gemäß KOSTRA-DWD-2020

Rasterfeld 97191

(Zeile 97, Spalte 191)

Übersichtskarte des Rasterfeldes 97191, M 1 : 100 000



Quelle Rasterdaten: KOSTRA-DWD-2020 des Deutschen Wetterdienstes, Stand 12/2022.

Seite 3 von 3

Kartendarstellung: © Bundesamt für Kartographie und Geodäsie (2023), Datenquellen: https://sgx.geodatenzentrum.de/web_public/gdz/datenquellen/Datenquellen_TopPlusOpen.html

Für die Richtigkeit und Aktualität der Angaben wird keine Gewähr übernommen. Erstellt 01/2023.